

## НАБЛЮДЕНИЕ ДИНАМИКИ ЛОКАЛЬНЫХ МАГНИТНЫХ ПОЛЕЙ ВО ФРУСТРИРОВАННЫХ ФЕРРОМАГНЕТИКАХ МЕТОДОМ $\mu$ SR

С.Г.Барсов, Г.П.Гасникова\*, А.Л.Геталов, В.П.Коптев, С.А.Котов,  
Л.А.Кузьмин, А.З.Меньшиков\*, С.М.Микиртычьянц, Г.В.Щербаков

С.-Петербургский институт ядерной физики им.Б.П.Константина РАН  
188350 Гатчина, Ленинградской обл., Россия

\*Институт физики металлов Уральского отд. РАН  
620219 Екатеринбург, Россия

Поступила в редакцию 22 апреля 1993 г.

Во фрустрированных ферромагнетиках, принадлежащих структурно-упорядоченным  $(Mn_{1-x}Fe_x)Pt_3$  сплавам, показано существование в спиновой системе медленно релаксирующих процессов, которые являются результатом динамического кроссовера от состояния ферромагнетизма к асперомагнетизму.

Характерной особенностью неупорядоченных магнитных систем с конкурирующим обменным взаимодействием между атомами является наличие фрустрированных спинов, определяющих склонность к переходу при низких температурах в состояние возвратного спинового стекла или смешанной фазы, описываемой одновременно ферро- и антиферромагнитным параметрами порядка. Магнитное состояние таких систем ниже температуры Кюри  $T_c$  и выше температуры Нееля  $T_N$  остается неопределенным. Его можно представить либо как асперомагнетик (или "планарное спиновое стекло"), у которого существует бесконечный радиус взаимодействия по ферромагнитным  $Z$ -проекциям и спин-стекольным  $X$ -,  $Y$ -проекциям полного магнитного момента [1], либо как систему обменно слабо связанных ("расплавленных") и медленно релаксирующих спинов на фоне ферромагнитной матрицы, характеризующейся сильным затуханием спиновых волн [2]. Решение этого вопроса наталкивается на трудности обнаружения динамики спиновой системы, отличной от спин-волновой. В частности, метод неупругого рассеяния нейтронов оказывается не эффективным из-за малого времени взаимодействия нейтрона с атомным спином ( $\sim 10^{-12} \div 10^{-10}$  с). С целью преодоления этих трудностей в настоящей работе используется метод релаксации спина мюона ( $\mu$ SR), который позволяет исследовать динамику внутренних локальных магнитных полей в нулевом внешнем магнитном поле за времена  $\sim 10^{-8} \div 10^{-5}$  с [3,4].

Для проведения исследования были выбраны структурно-упорядоченные  $(Mn_{1-x}Fe_x)Pt_3$  сплавы, которые представляли собой идеальную систему хаотически распределенных атомов Fe и Mn с конкурирующим обменным взаимодействием типа  $J_{MnMn} > 0$ ,  $J_{MnFe} > 0$  и  $J_{FeFe} < 0$  в пределах простой кубической решетки, поскольку, как установлено в работе [5], магнитные атомы железа ( $\mu_F = 3,3 \mu_B$ ) и марганца ( $\mu_M = 4,2 \mu_B$ ) статистически располагаются по углам куба, а немагнитные атомы платины – в центрах его граней. Ранее проведенные исследования этих сплавов магнитными и нейтронографическими методами [5-7] позволили построить магнитную фазовую диаграмму (рис.1), которая оказалась характерной для систем с двумя сильно взаимодействующими векторными параметрами порядка и одним скалярным [5,8].

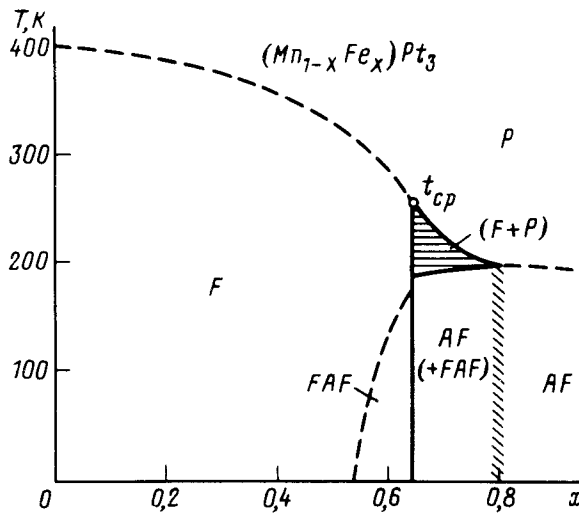


Рис.1. Магнитная фазовая диаграмма сплавов  $(\text{Mn}_{1-x}\text{Fe}_x)\text{Pt}_3$  [5] в структурно-упорядоченном состоянии, где магнитные атомы железа и марганца имеют решетку простого куба, пунктир – линии фазового перехода II рода, сплошные – I рода,  $t_{cp}$  – трикритическая точка, FAF – смешанная фаза, описываемая ферромагнитным и антиферромагнитным параметрами порядка

На мюонном канале ПИЯФ РАН методом измерения релаксации спина мюона ( $\mu\text{SR}$ ) проведено исследование динамики внутренних локальных магнитных полей в нулевом внешнем магнитном поле в диапазоне температур 10–340 К. Измерялся временной спектр позитронов распада

$$n(t) = N_\mu^{-1} \{N_0 \exp(-t/\tau_\mu)[1 + a_0 \exp(-\lambda t)G_{st}(t)] + N_B\}, \quad (1)$$

где  $N_\mu$  – число остановившихся в мишени мюонов,  $\tau_\mu = 2,2$  мкс – время жизни мюона,  $N_0/N_\mu$ ,  $a_0$ ,  $N_B/N_\mu$  – параметры, зависящие только от характеристик экспериментальной установки и мюонного пучка,  $G_{st}(t)$  – функция деполяризации спина мюона в статических локальных полях. Для исследуемых образцов распределение статических полей в магнитоупорядоченной фазе таково, что при  $t > 0,05$  мкс  $G_{st}(t) \simeq 1/3$  [4].  $\lambda$  – скорость деполяризации спина мюона, отражающая динамику магнитных полей при  $t > 0,05$  мкс.

В данной работе использованы сплавы с  $x = 0,45; 0,55; 0,6; 0,65$ , принадлежащие ферромагнитной области фазовой диаграммы и находящиеся близко к критической концентрации  $X_c = 2/3$ , разделяющей области ферромагнетизма (F) и антиферромагнетизма (AF). Как показали нейтрон-дифракционные исследования [5], указанные сплавы (кроме сплавов с  $x = 0,45; 0,8$ ) при низких температурах переходят в состояние смешанной фазы, описываемой одновременно двумя волновыми векторами  $K_F = 2\pi/a(0,0,0)$  и  $K_{AF} = 2\pi/a(1/2,1/2,0)$ . Исследования этих образцов  $\mu\text{SR}$ -методом показали (рис.2), что при температурах магнитных фазовых переходов в AF и F фазы ( $T_N$  и  $T_c$ ) в зависимости  $\lambda(T)$  наблюдаются четко выраженные пики. Значения этих температур в пределах ошибок совпадают с температурами переходов, определенными другими методами.

Но для образцов с  $x < 0,65$  наблюдается третий сравнительно широкий пик с максимумом при промежуточной температуре  $T_N < T_A < T_c$ :  $T_A = 235(10)$  К для  $x = 0,60$ ,  $T_A = 243(2)$  К для  $x = 0,55$  и  $T_A = 270(5)$  К для  $x = 0,45$ , который, очевидно, указывает на наличие еще одного, не регистрируемого другими методами, фазового перехода.

Температурные зависимости восприимчивости, измеренные при нагреве

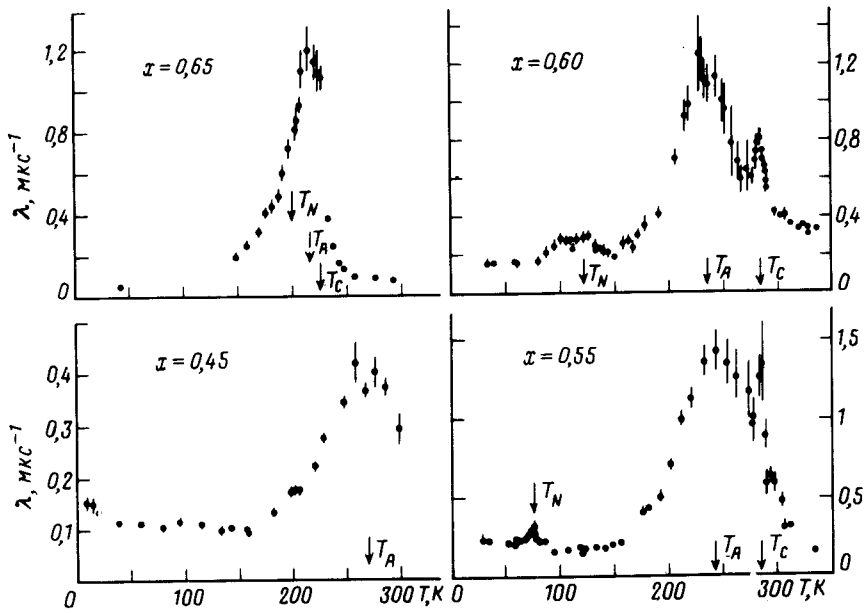


Рис.2. Температурные зависимости скорости деполяризации мюонов в  $(\text{Mn}_{1-x}\text{Fe}_x)\text{Pt}_3$  сплавах, измеренные в нулевом внешнем магнитном поле. Стрелками указаны температуры  $T_c$  и  $T_N$ , взятые из фазовой диаграммы (рис.1). Температура  $T_A$  соответствует положению максимума промежуточного пика

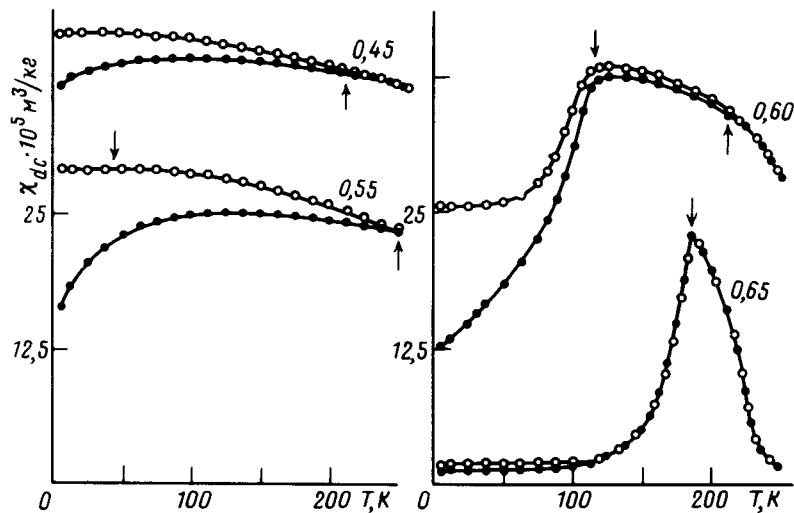


Рис.3. Температурная зависимость статической восприимчивости для  $(\text{Mn}_{1-x}\text{Fe}_x)\text{Pt}_3$  сплавов разных составов, измеренной при нагреве образца после охлаждения до 4,2 К: в отсутствие магнитного поля (сплошные точки), в магнитном поле  $H = 0,04 \cdot 10^6 \text{ A/m}$  (светлые кружки),  $T_A$  показывает температуру начала слабой необратимости;  $T_N$  соответствует температуре перехода в смешанную фазу, цифрами у кривых обозначена концентрация железа  $x$

образцов после их охлаждения до 4,2 К в отсутствие внешнего поля ( $\chi_{ZFC}$ ) и при его наличии ( $\chi_{FC}$ ) (рис.3) свидетельствуют о появлении при температурах ниже  $T_A$  значительной необратимости.

Поэтому естественно предположить, что наблюдаемая вблизи  $T_A$  перестройка магнитной структуры обусловлена переходом системы из ферромагнитного состояния в асперомагнитное, которое является неоднородным от узла к узлу из-за статистического распределения атомов железа и марганца по подрешетке и сильной пространственной дисперсии обменной энергии по кристаллу. Такой переход, растянутый по температуре, скорее отвечает динамическому кроссоверу от состояния с одним параметром порядка (ферромагнитным), образовавшимся при температуре Кюри в результате "замораживания"  $Z$ -проекций магнитного момента, к состоянию, связанному с критическим замедлением  $X$ .

$Y$ -проекций полного момента при некоторой температуре, характерной для каждой локальной конфигурации атомов железа и марганца. В результате этого в целом по кристаллу в широкой области температур существуют медленно релаксирующие процессы.

- 
1. M.Gabay and G.Toulouse, Phys. Rev. Lett **47**, 201 (1981).
  2. W.M.Saslov and G.Parker, Phys. Rev. Lett. **56**, 1074 (1986).
  3. С.Г.Барсов, А.Л.Геталов, В.П.Коптев и др., Препринт ЛИЯФ-1312, 1988.
  4. В.П.Коптев, Н.А.Тарасов, Препринт ЛИЯФ-1313, 1987.
  5. Г.П.Гасникова, А.З.Меньшиков, ФММ **9**, 64 (1992).
  6. А.П.Вохманин, В.В.Келарев, А.Н.Пирогов, С.К.Сидоров, ФММ **50**, 1010 (1980).
  7. W.H.Schreiner, W.Staunz, and E.F.Wasserman, J. Phys. F. Met. Phys. **15**, 2005 (1985).
  8. A.Z.Menshikov, Physica B **149**, 249 (1988).